

Fig.1

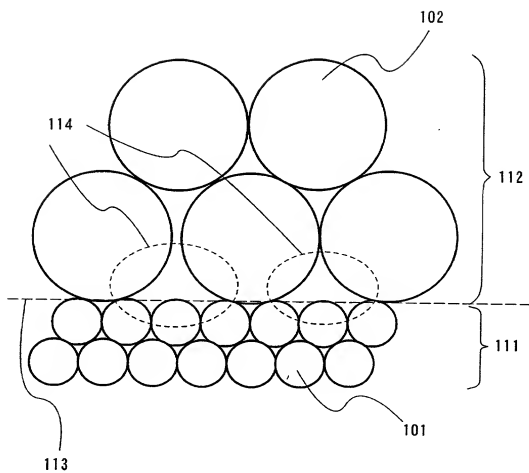


Fig.2

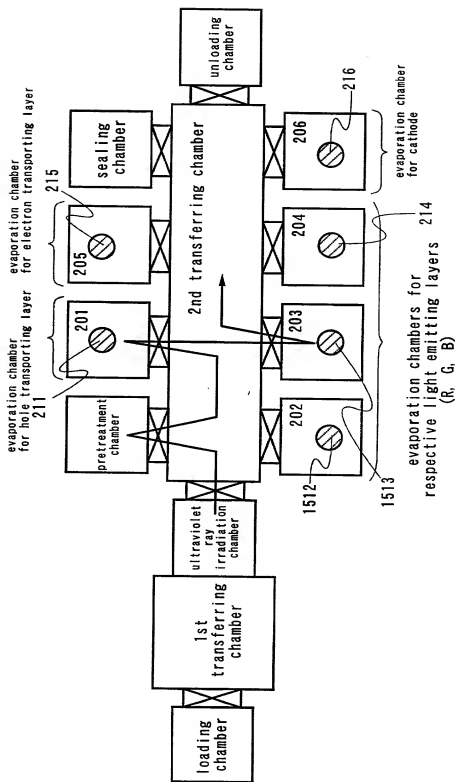


Fig.3

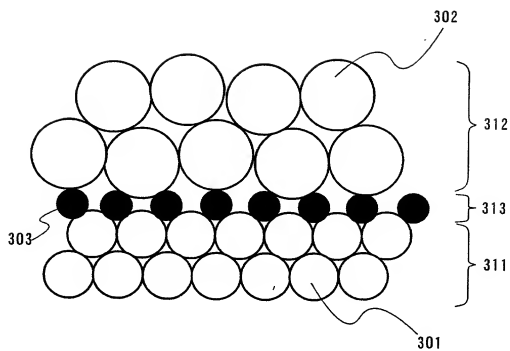
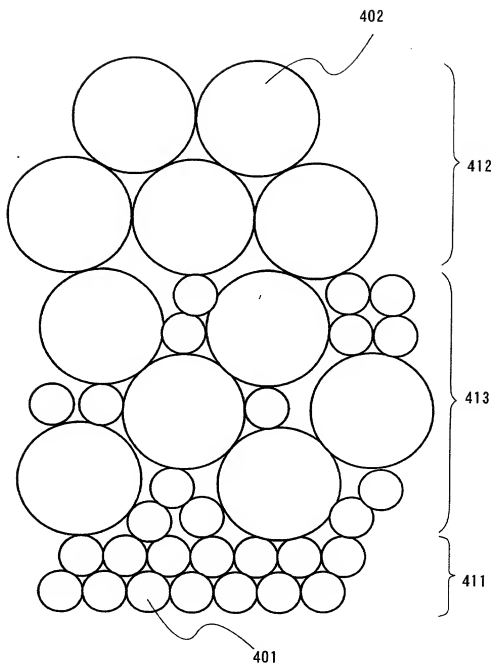


Fig.4



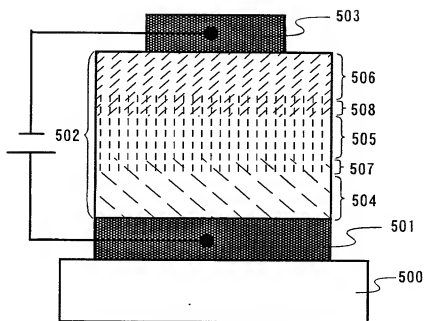


Fig.5A

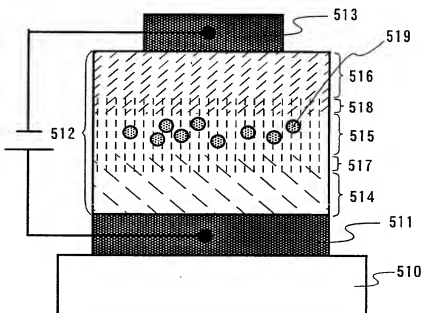


Fig.5B

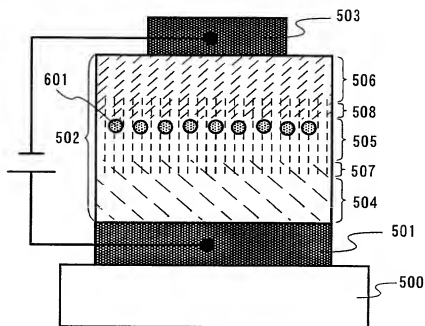


Fig.6A

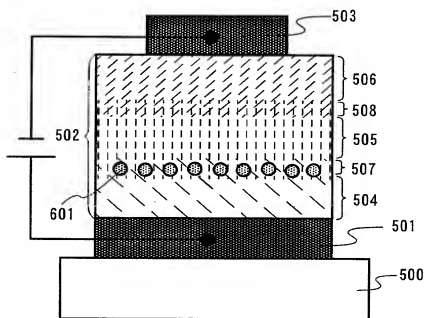
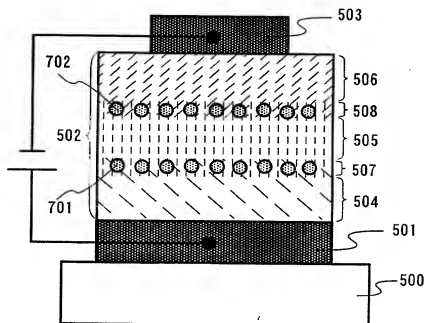


Fig.6B

Fig.7



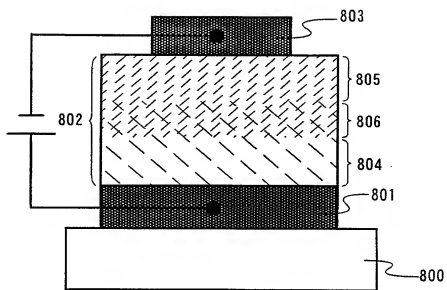


Fig.8A

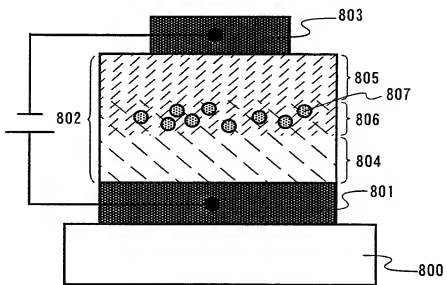


Fig.8B

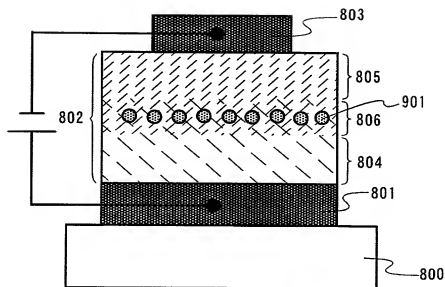


Fig.9A

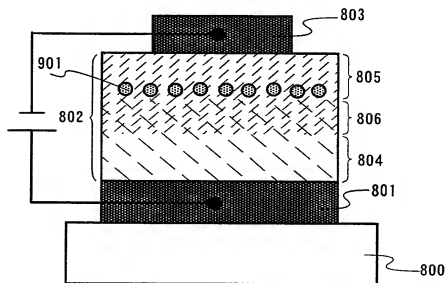
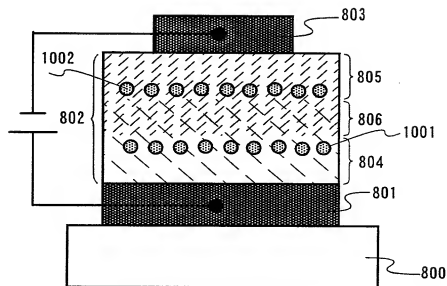


Fig.9B

Fig.10



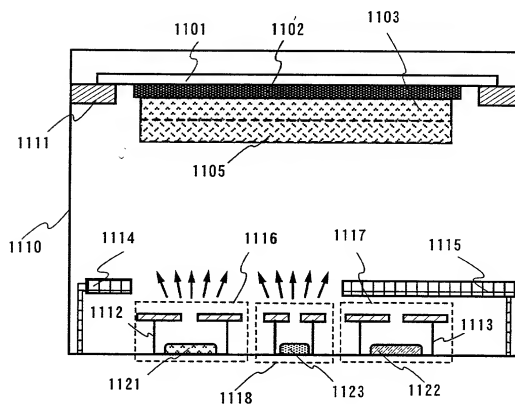
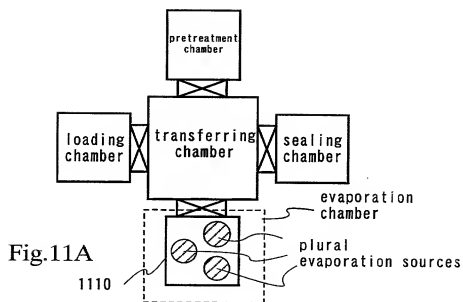


Fig.11B

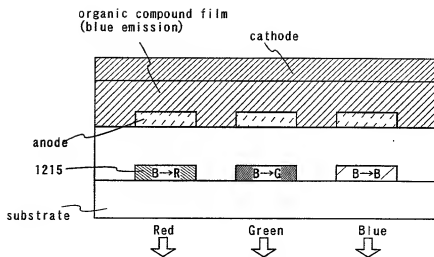


Fig.12A

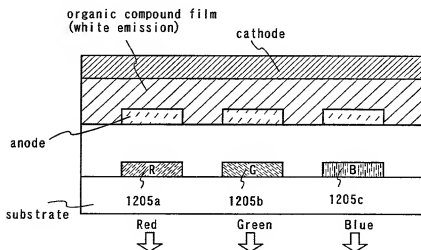


Fig.12B

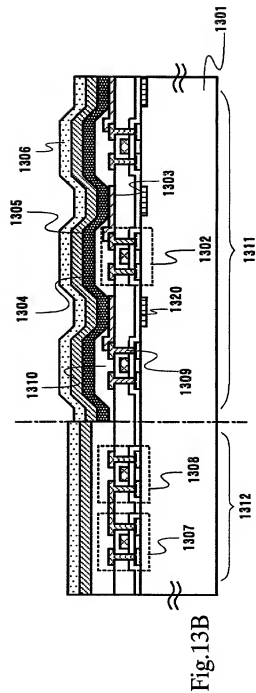
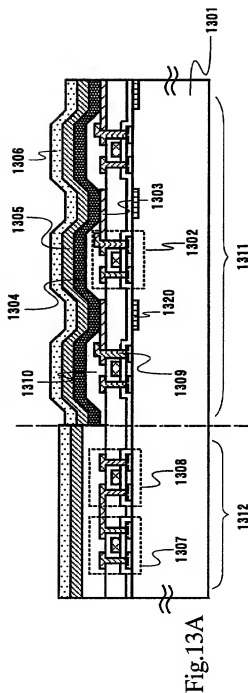


Fig.14

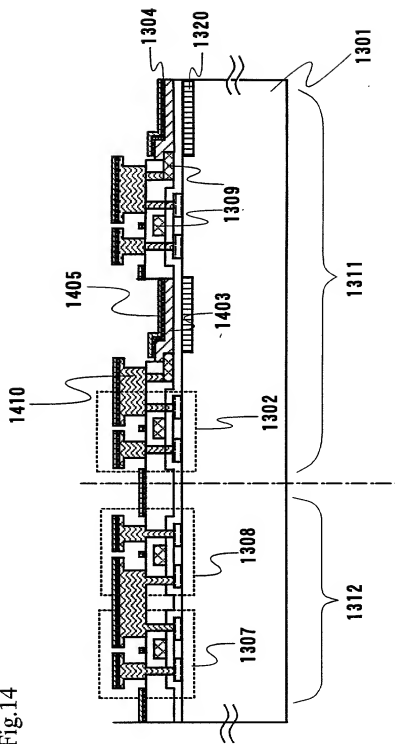
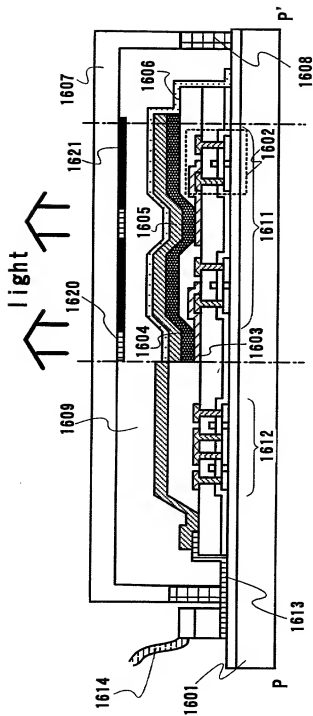


Fig.16



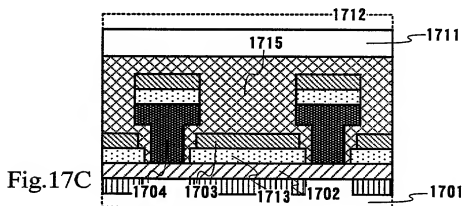
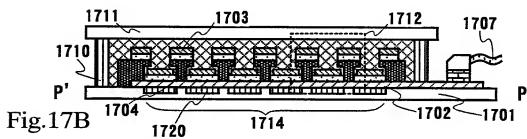
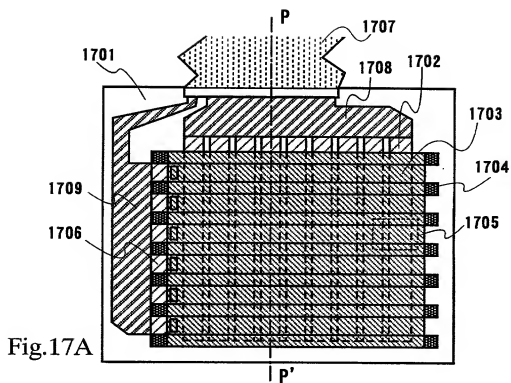


Fig.18A

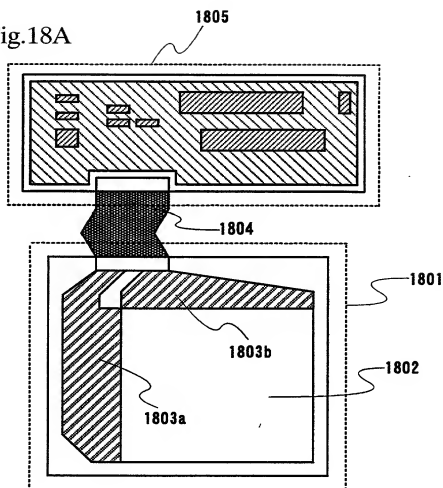


Fig.18B

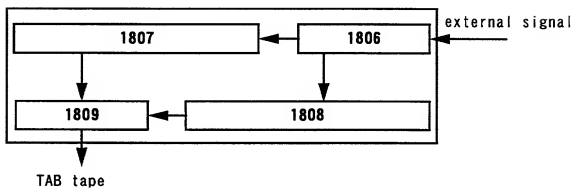


Fig.19A

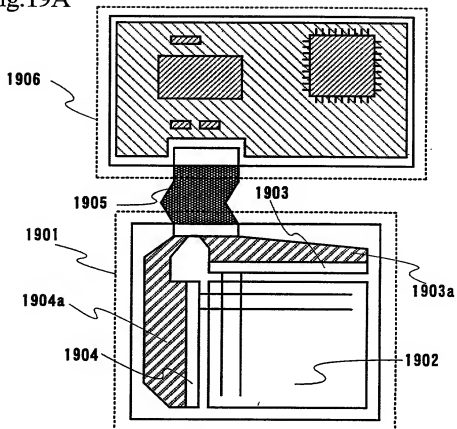
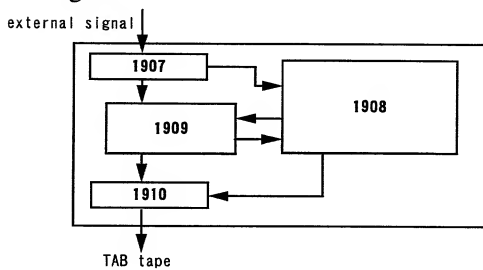


Fig.19B



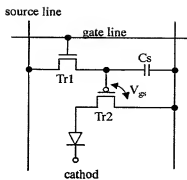


Fig.20A

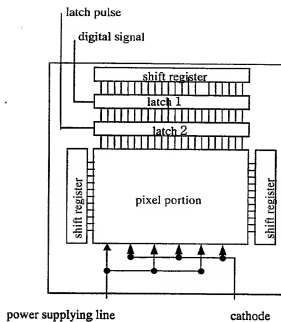
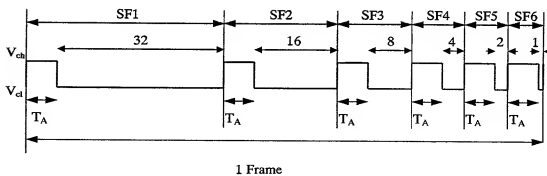


Fig.20B



SF1-SF6:sub-frame, T_A : write in time

Fig.20C

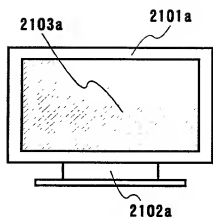


Fig. 21A

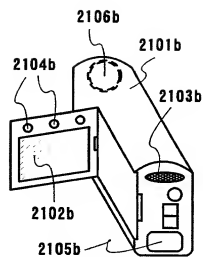


Fig. 21B

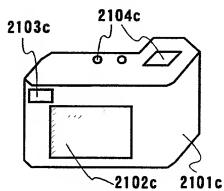


Fig. 21C

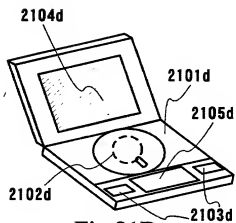


Fig. 21D

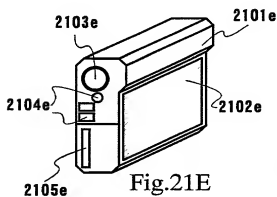


Fig. 21E

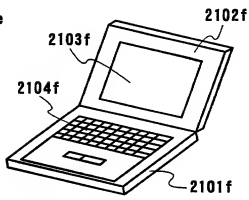


Fig. 21F

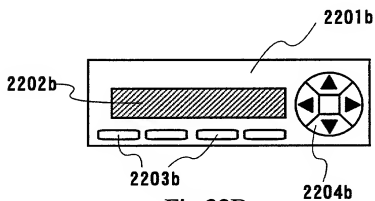
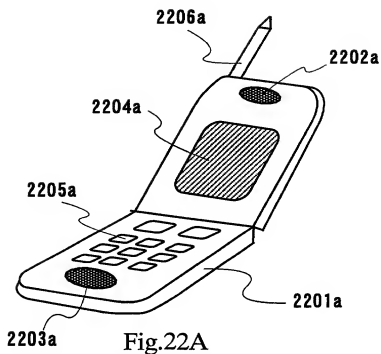


Fig.24

